

مطالعه ساختار تشریحی ساقه و برگ در برخی از گونه‌های تیره اویارسلام (Cyperaceae)

معصومه اصلانی^۱، اصغر کامرانی^{۲*} و طاهر نژاد ستاری^۱

^۱ تهران، دانشگاه آزاد اسلامی واحد علوم و تحقیقات، دانشکده علوم پایه، گروه زیست‌شناسی

^۲ تهران، دانشگاه شاهد، دانشکده علوم پایه، گروه زیست‌شناسی

تاریخ دریافت: ۹۵/۷/۱۰ تاریخ پذیرش: ۹۵/۱۱/۲۵

چکیده

تیره اویارسلام (Cyperaceae) گیاهانی چند ساله و بذرگ یک ساله با ساقه‌های هوایی افراشته و زیرزمینی، برگ‌ها بلند، متناوب، و اندام‌های تولید مثلی کاهش یافته هستند، که اغلب در اکوسیستم‌های ماندابی (Wetland) می‌رویند. در این تحقیق ده گونه شامل چهار جنس *Schoenoplectus* و *Carex*, *Cyperus*, *Pycreus* از لحاظ ساختار تشریحی و ریز ریخت‌شناسی مورد مطالعه قرار گرفتند. نتایج بررسی تشریحی ساقه نشان داد که ویژگی‌هایی مانند وجود ستون اسکلرانتیمی و آرایش آوند ها، حفره‌های هوایی بزرگ در پیرامون ساقه موجب جداسازی گونه‌های جنس *Carex* از بقیه گونه‌ها می‌گردد. همچنین آرایش، ابعاد دستجات آوندی به ویژه آوند های متازایلم و تعداد دستجات آوندی بزرگ به عنوان مهمترین ویژگی موجب جدایی گونه‌های جنس *Carex* می‌شود. ساختار تشریحی برگ در گونه‌های *Carex* با ابعاد بزرگ تر بافت اسکلرانتیم، تعداد بیشتر لایه‌های کلرانتیم در اطراف حفره‌های هوایی مشخص می‌گردد. نشان ویژگی تشریحی کرانز در گونه‌های متعلق به دو جنس *Cyperus* و *Pycreus* با کوچک تر بودن ابعاد حفره‌های هوایی همانگ بود. ویژگی بارز و مشترک بین گونه‌های دو جنس *Schoenoplectus* و *Cyperus* و نیز گونه *Pycreus flavidus* نبود زواید پستانکی و نیز خار در حاشیه برگ می‌باشد. بررسی ویژگی‌های ریخت‌شناسی اپیدرم نشان داد که تیپ روزنه‌ای بارز تراستیک بوده و چگونگی انتشار روزنه‌های هوایی در هر دو سطح اپیدرم وجود زواید پستانکی با وجود داشتن ارزش تشخیصی، الزاماً ارتباط مستقیمی با نوع رویشگاه ندارد.

واژه‌های کلیدی: اپیدرم، اسکلرانتیم، تاکسونومی، دستجات آوندی، جگن

* نویسنده مسئول، تلفن: ۰۹۱۲۸۸۶۹۸۹۴، پست الکترونیکی: Kamrani@shahed.ac.ir

مقدمه

ویژگی‌های ریخت‌شناسی در تاکسونومی تیره Cyperaceae به دلایلی مانند انعطاف پذیری فنوتیپی بالا متناسب با نوع رویشگاه(۳۲)، تحلیل اندام‌های تولید مثلی و قابلیت دورگ‌گیری همواره چالش بر انگیز بوده است (۹ و ۳۱). اما ویژگی‌های تشریحی کمتر تحت تاثیر شرایط محیطی دستخوش تغییر شده و بسیاری از محققین ارزش تاکسونومیکی آن‌ها را در این تیره بررسی نموده اند(۹، ۱۴ و ۲۹).

گیاهان تیره Cyperaceae با حدود ۱۶ جنس و ۱۲۴ گونه در ایران، اغلب چند ساله با ساقه‌های هوایی افراشته و زیرزمینی، سه گوش گاهی استوانه‌ای، برگ‌ها با آرایش سه ردیفی، گل آذین سبله، گل‌ها دو جنس یا تک جنس و میوه فندقه هستند(۱)، که اغلب در اکوسیستم‌های ماندابی به ویژه در دامنه‌های جنوبی البرز می‌رویند(۱۶ و ۳).

Carex نشان داد که ویژگی های اپیدرم برگ در تراز های بالاتر از بخشی برای تشخیص تاکسون ها مفید است(۲۲).

در مجموع نتایج بررسی منابع نشان می دهد که ویژگی های تشریحی ساقه و برگ با نگرش مقایسه ای در گونه های برگزیده در این پژوهش، تاکنون بررسی و مطالعه نشده است. هدف از انجام این تحقیق بررسی و توصیف ساختار تشریحی ساقه، برگ و ویژگی سلول های اپیدرم و نیز مقایسه ویژگی های تشریحی تاکسون های مورد مطالعه با در نظر گرفتن موقعیت تاکسونومیکی آن ها در گروه بندی های ارایه شده در فلور ایران (۱) می باشد.

مواد و روشها

تهیه نمونه های مورد مطالعه: تاکسون های مورد مطالعه در این تحقیق شامل ۱۰ گونه جمع آوری شده از رویشگاه های ماندابی دامنه های جنوبی رشته کوه های البرز است(جدول ۱). این نمونه ها با استفاده از فلور ایران (۱) شناسایی گردید.

نمونه های مطالعه (ساقه و برگ) به مدت پنج تا ده دقیقه در ظرف حاوی آب گرم و سپس به مدت دو روز در الكل ۷۰ درصد قرار گرفت. برش های دستی از منطقه میانی برگ و ساقه با استفاده از تیغ های تجاری معمولی تهیه شد. رنگ آمیزی مضاعف با استفاده از کارمن زاجی و آبی متیلن انجام گرفت. در آخر از اسلاید های مناسب به وسیله میکروسکوپ نوری Zeiss مدل Axiostar plus مجهر به دوربین Dinolite با بزرگ نمایی های مختلف عکس برداری شد. اندازه گیری های میکروسکوپی با استفاده از نرم افزار Microstructure Measurement نجام گرفت.

برای مطالعه سلول های اپیدرمی ، ابتدا قطعات ۵ تا ۷ سانتی متری از بخش میانی برگ جدا و با استفاده از اسکالپل تراشیده شد. قطعات اپیدرم به دست آمده با استفاده از آب ژاول بی رنگ و با استفاده از میکروسکوپ نوری در بزرگ نمایی ۴۰۰ برابر مطالعه شدند. در مطالعات

ویژگی های تشریحی از سال ها پیش در مطالعات تاکسونومیکی استفاده شده است(۴). تعداد کمی از ویژگی های کلی ساقه در بررسی های تشریحی اولیه ساقه تیره اویارسلام مشخص گردید(۱۹). البته جنبه های مختلفی از تشریح اندام کامل توسط محققین دیگر در جنس های مانند *Eleocharis* (۱۱) و *Cyperus* (۷ و ۳۵) منتشر شده است. بررسی ساختار تشریحی برگ در تیره اویارسلام نشان داد که سلول های اپیدرمی سطح شکمی کوچکتر از سطح پشتی است و غلاف آوندی مرکب از دو لایه بیرونی پارانشیمی و درونی اسکلرانشیمی می باشد(۱۳). بررسی های تشریحی انجام گرفته دیگر نشان داد که برگ ها در برش عرضی دو طرفی و V-شکل، سلول های اپیدرمی مستطیلی کشیده، بدون کرک می باشد و سلول های مفصلی (Bulliform) در افراد جوان تر دیده نمی شوند(۱۳). نتایج بررسی ساختار تشریحی ساقه و برگ تعدادی از گونه های *Carex* معیار تشخیصی مناسبی برای جداسازی گونه ها فراهم نکرد(۳۴). با این وجود در بررسی تعداد دیگری از گونه های این جنس مشخص گردید که داده های تشریحی از ارزش تاکسونومیک خوبی برخوردارند (۲۰ و ۳۱). بررسی ساختار تشریحی برگ هفت گونه از جنس *Carex* در منطقه ارسباران نشان داد که گیاهان اویارسلام به رویشگاه های ماندابی سازش یافته اند(۴۰). در بررسی تشریحی ساقه و برگ ۱۰ گونه جنس *Cyperus* ویژگی هایی مانند شکل مقطع ساقه، وضعیت کلرانشیم و حفره های هوایی توصیف گردیده است(۵). همچنین در بررسی ساختار تشریحی ساقه و برگ ۱۲ گونه و زیر گونه *Carex* مشخص گردید که نتایج حاصل از بررسی های تشریحی، طبقه بندی های کلاسیک مبتنی بر ریخت شناسی را تایید نمی کند(۴).

کاربرد ویژگی های سلول های اپیدرمی نظیر تیپ روزنه های هوایی، کرک ها و نیز شکل سلول های اپیدرمی بسیار رایج بوده و در شناسایی گونه ها و جنس های تیره اویارسلام ارزشمند می باشد(۲۱). بررسی ۱۵ گونه

الکترونی نگاره KYKY مدل ME3200 در ولتاژ شتاب دهنده‌ای معادل ۲۰ کیلو ولت عکس برداری گردید.

میکروسکوپی الکترونی، قسمت میانی برگ پس از پوشش دهی با طلا (به ضخامت ۳۰ نانومتر) با میکروسکوپ

جدول ۱- فهرست گونه‌های مورد مطالعه تیره اویار سلام (Cyperaceae). SUH = هرباریوم دانشگاه شاهد

شماره هرباریومی (SUH)	محل جمع آوری	بخش	زیر جنس	زیر تیره	گونه
۹۰۲۴	استان قزوین - جاده آبگرم یله گند - منطقه شاه تپه. کامرانی.	Carex	Carex	Carycoideae	<i>Carex acutiformis</i> Ehrh.
۹۰۲۵	استان گیلان - لوشان - روستای کلیشم. کامرانی	Ceratocystis	Carex	Carycoideae	<i>C. demissa</i> Hornem. Subsp. <i>Iranica</i> Kukonen.
۹۰۲۹	استان قزوین - جاده رازمیان - منطقه دریاچه. کامرانی	Secalinae	Carex	Carycoideae	<i>C. hordeistichos</i> Vill.
۹۰۳۲	استان گیلان - لوشان - روستای کلیشم. کامرانی	Carex	Carex	Carycoideae	<i>C. pamirica</i> (O. Fedtsch.) O. & B. Fedtsch. ex B. Fedtsch.
۹۰۳۳	استان البرز - طالقان - روستای مهران - کامرانی	Foetida	Vignea	Carycoideae	<i>C. pseudofoetida</i> Kük subsp. <i>acrifolia</i> (V. Krecz.) Kukkonen
۹۰۳۹	استان قزوین - رجایی دشت - حاشیه رود خانه سیاه رود. کامرانی	-	Juncellus	Cyperoideae	<i>Cyperus distachyos</i> All.
۹۰۴۱	استان قزوین - جاده الموت - روستای سیمیار. کامرانی	Compressi	Cyperus	Cyperoideae	<i>C. glaber</i> L.
۹۰۷۴	استان قزوین - رجایی دشت - حاشیه رود خانه سیاه رود. کامرانی	-	-	Cyperoideae	<i>Pycreus flavidus</i> (Retz.) T. Koyama
۹۰۵۰	استان قزوین - رجایی دشت - حاشیه رودخانه شاه رود. کامرانی	-	-	Cyperoideae	<i>Schoenoplectus bucharicus</i> (Roshev.) Grossh
۹۰۴۹	استان قزوین - رجایی دشت - حاشیه رودخانه شاه رود. کامرانی	-	-	Cyperoideae	<i>S. mucronatus</i> (L.) Palla

C. pseudofoetida و *S. bucharicus* را در بر می‌گیرد (شکل ۱).

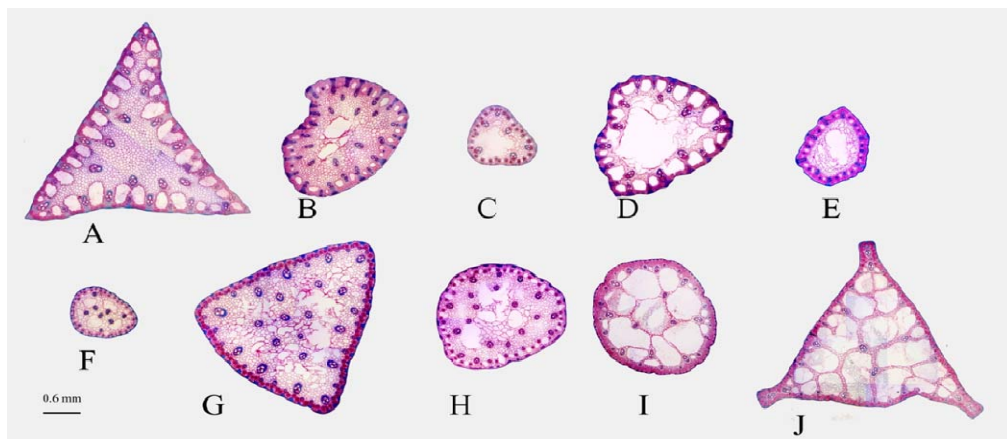
اپیدرم: سلول‌های اپیدرمی در برش عرضی ساقه مستطیلی یا بیضوی، سطح آن فاقد کرک و زوائد دیگر است و روزنه *Carex hordeistichos*, *C. pamirica*, *Cyperus glaber*, *Pycreus flavidus*, *Schoenoplectus bucharicus*, *S. mucronatus* مشاهده گردید (شکل‌های ۲ و ۳).

تجزیه و تحلیل داده‌ها شامل واکاوی خوش ای Minitab¹⁷ (Cluster Analysis) با استفاده از نرم افزار

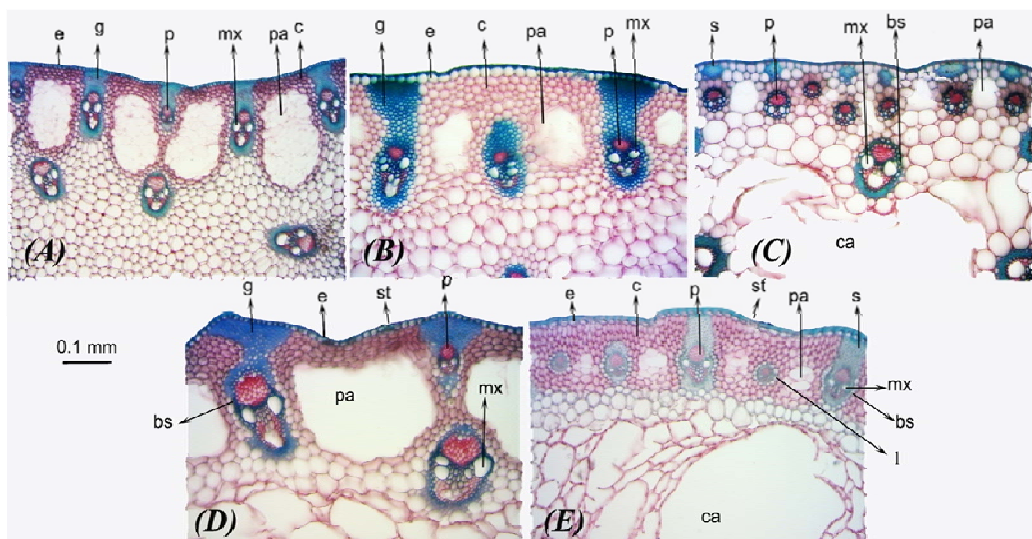
انجام شد.

نتایج

ساقه: برش عرضی گستره‌ای از شکل‌های سه گوش تیز در *Carex acutiformis* در *C. hordeistichos*, *C. pamirica*, *Cyperus distachyos*, *Schoenoplectus mucronatus* و *C. glaber*



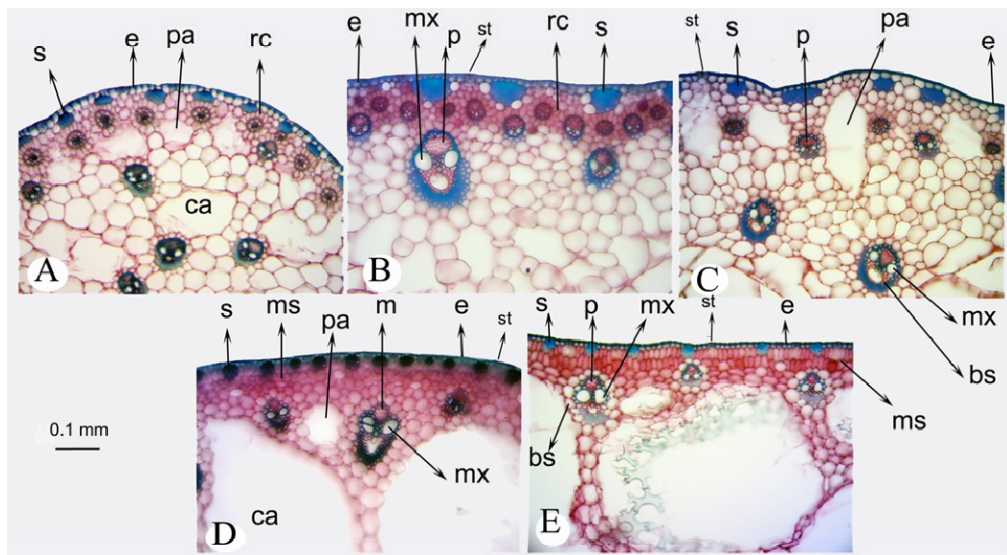
شکل ۱- مقایسه اندازه و شکل برش عرضی ساقه.
C. pamirica -D *C. hordeistichos* -C *C. demissa* -B *Carex acutiformis* -A
-E *Schoenoplectus bucharicus* -I *Pycreus flavidus* -H *C. glaber* -G *Cyperus distachyos* -F *C. pseudofoetida* -E
-*S. mucronatus*



شکل ۲- برش عرضی ساقه.
C. -E *C. pamirica* -D *C. hordeistichos* -C *C. demissa* -B *Carex acutiformis* -A
= غلاف آوندی، c = کلرانشیم، g = حفره هوایی مرکزی، mx = سلول شفاف، آوند = mx
=e = اپیدرم، s = سلول اسکلرال، pa = آوند آبکش، st = متازایلم، p = آوند آبکش، bs = اسکلرال، s = روزنه هوایی.

Cyperus distachyos, *C. glaber* و *C. hordeistichos* سلول های کلرانشیمی با آرایش شعاعی در پیرامون دستجات آوندی کوچک قرار دارند. در *S. bucharicus* و *S. mucronatus* بافت های کلرانشیم نرdbانی شامل ۲ تا ۳ لایه در زیر اپیدرم می باشد (شکل های ۲ و ۳).

کلرانشیم: کلرانشیم ساقه شامل سلول های بیضوی یا چند وجهی بوده که در *C. demissa* ، *C. pamirica* و *C. acutiformis* اطراف حفره های هوایی به ویژه به سمت اپیدرم قرار گرفته است، ولی در *C. pseudofoetida* حفره های هوایی و دستجات آوندی را احاطه می کنند. در



شکل ۳- برش عرضی ساقه. A- *Schoenoplectus bucharicus* -B *Pycreus falvidus* -C *C. glaber* -D *Cyperus distachyos* -E *S. mucronatus* .
 آوند = سلول شفاف، l=g=ستون هواپی مرکزی، e=حفره هواپی اپیدرم، pa=آوند مزوپلی، ms=متازاپلی، mx=آوند آبکش، rc=حفره هواپی پیرامونی، ca=کلرانتشیم شعاعی، st=اسکلرانتشیم کناری، st=روزنگ هواپی.

C. hordeistichos برخی از دستجات آوندی به سمت داخل گرایش می‌یابند (شکل ۲ A و C)، اما هیچ وقت به مرکز ساقه نمی‌رسند. دستجات آوندی در *C. demissa* شامل سه گروه می‌باشد: گروه اول دستجات آوندی بزرگ با کلاهک اسکلرانتشیمی در دو قطب چوبی و آبکشی در حدود سطح کلرانتشیم و بافت زمینه ای مرکز ساقه، گروه دوم با ستون اسکلرانتشیمی بلند و به نسبت پهن به لایه اپیدرم متصل اند و گروه سوم با ستون کوتاه و مثلثی در کنار اپیدرم دیده می‌شوند (شکل ۲ B). دستجات آوندی در *C. acutiformis* شامل دستجات آوندی بزرگ با کلاهک اسکلرانتشیمی در دو قطب چوبی و آبکشی در کنار حفره هوایی بزرگ مرکز ساقه و نیز دستجات آوندی با ستون اسکلرانتشیمی پهن متصل به اپیدرم می‌باشد (شکل ۲ A). دستجات آوندی شامل دو گروه است: گروه اول دستجات آوندی بزرگی که با ستون‌های اسکلرانتشیمی با اپیدرم اتصال دارند و یا محصور در بافت کلرانتشیم اند. گروه دوم دستجات آوندی کوچکی که در

اسکلرانتشیم: بافت‌های اسکلرانتشیمی در اطراف ساقه بسیار توسعه یافته است و بر عکس، وسعت آن به سمت مرکز کاهش می‌یابد. بافت اسکلرانتشیم در *C. acutiformis*, *C. demissa*, *C. pamirica*, *C. pseudofoetida* توده‌های چند سلولی ستون مانند (girder) در بین اپیدرم و دستجات آوندی جای گرفته اند و نیز به شکل کلاهک در قطب چوبی و یا آبکشی دیده می‌شوند در *C. hordeistichos* چند سلولی (Strand) در زیر اپیدرم و مقابل دستجات آوندی جای گرفته اند. دستجات آوندی داخلی تر توسط کلاهک اسکلرانتشیمی هلالی در سمت آوند چوبی احاطه شده اند (شکل ۲). در *Schoenoplectus*، *Pycreus* و *Cyperus* بافت اسکلرانتشیم به صورت توده‌های چند سلولی جدا و بدون پیوستگی با دستجات آوندی در کنار اپیدرم قرار دارند (شکل ۳).

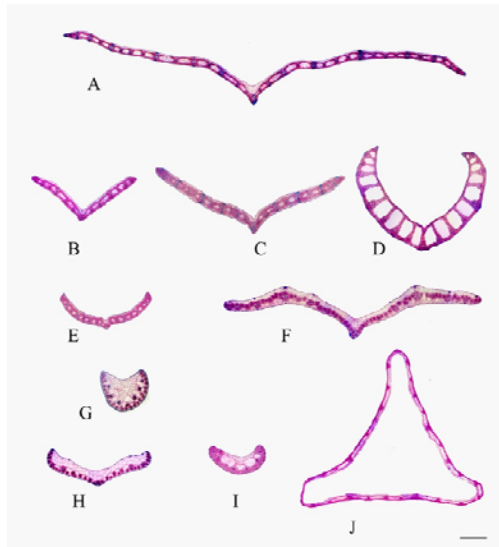
دستجات آوندی: در بیشتر گونه‌ها تعداد دستجات آوندی پیرامون ساقه بیشتر از مرکز است. در *C. acutiformis* و

لایه بیرونی غلاف آوندی با سلول‌های شفاف احاطه شده اند. در تمام گونه‌های زیر رده Cyperoideae دستجات آوندی شامل دو گروه بزرگ در بخش مرکزی ساقه و کوچک در مجاورت اپیدرم می‌باشد که در جنس‌های *Cyperus* و *Pycreus* اطراف آن‌ها را کلرانشیم شعاعی دربرگرفته است (شکل ۳).

حفره‌های هوایی: حفره‌های هوایی از نظر اندازه، فراوانی و نحوه انتشار در گونه‌های مختلف متفاوت می‌باشند. حفره هوایی در *C. demissa* در حاشیه ساقه به صورت متناوب با دستجات آوندی دیده می‌شود. بافت زمینه ای مرکز ساقه *C. pamirica* و *C. hordeistichos* توسط حفره هوایی بزرگ اشغال شده است و حفره هوایی کوچکتر در کنار دستجات آوندی پیرامون ساقه دیده می‌شود. حفره‌های هوایی در *C. distachyos* شامل حفره‌های بزرگ متمایل به مرکز و حفره‌های کوچک در بین دستجات آوندی کوچک قرار دارند. اما در *C. glaber* حفره‌های هوایی فقط در بافت زمینه ای پراکنده هستند. بافت زمینه ای مرکزی در *S. mucronatus* و *S. bucharicus* دارای چندین حفره هوایی بزرگ می‌باشد (شکل ۳).

برگ: برش عرضی برگ در گونه‌های مختلف *Carex* و *Pycreus flavidus* به شکل V، در نیز *C. glaber* و *Cyperus distachyos* به ترتیب هلالی و لبه دار (Flanked) دیده می‌شود (شکل ۴).

اپیدرم: سلول‌های اپیدرم مستطیلی دارای دیواره طولی سینوسی بوده و معمولاً در سطح بالایی به طور مشخصی بزرگتر، اما در مجاورت بافت‌های اسکلرانشیمی، کوچکتر از بقیه می‌باشند (شکل‌های ۵ و ۶). سلول‌های اپیدرمی *Carex* به شکل‌های مختلف مفصلی (Bulliforms) در *acutiformis*, *C. demissa*, *C. hordeistichos*, *C. pseudofoetida*, *Cyperus glaber*, *Pycreus flavidus* و *C. acutiformis* (Papillae) در زوائد پستانکی در



شکل ۴- مقایسه اندازه و شکل برش عرضی برگ.
-A *Carex* -B *C. acutiformis*
-C *C. demissa* -D *C. hordeistichos*
Cyperus glaber -E *C. pamirica*
-F *C. pseudofoetida* -G *C. glaber*
-H *Pycreus flavidus* -I *C. distachyos*
-J *Schoenoplectus bucharicus* *S. mucronatus*

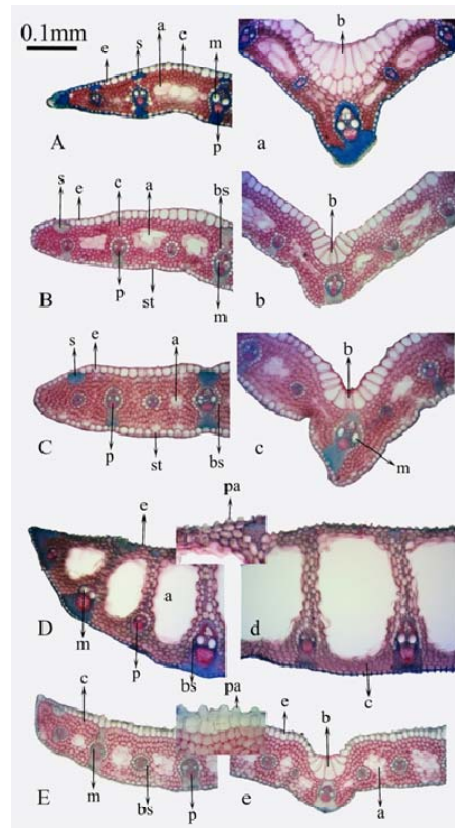
تیپ روزنه‌ای بارز در بیشتر گونه‌ها تتراسیتیک، اما در *C. glaber* و *C. hordeistichos* پاراسیتیک می‌رسد (شکل ۷). بخش انتهایی سلول‌های اپیدرمی *C. demissa* برآمده و در نتیجه حاشیه برگ موج دار دیده می‌شود (شکل‌های ۷). همچنین حاشیه برگ در *C. pseudofoetida* و *C. hordeistichos* واجد خارهای اپیدرمی می‌باشد (شکل‌های ۷ و ۸).

کلرانشیم: کلرانشیم در بسیاری از گونه‌ها شامل چند لایه سلول نرdbانی در زیر اپیدرم بالایی است. سلول‌های کلرانشیم شعاعی نیز در اطراف دستجات آوندی کوچک در گونه‌های *P. flavidus*, *C. distachyos*, *C. glaber* و *C. acutiformis* قابل مشاهده است (شکل‌های ۵ و ۶).

دارند، به طوری که بزرگترین آن‌ها در رگبرگ میانی و کوچک‌ترین آن‌ها در اغلب موارد نزدیک به حاشیه برگ قرار دارند. تعداد آوندهای پیرامونی در *Cyperus* و *Pycreus* فراوان می‌باشد (شکل ۶، A و B).

حفره‌های هوایی: اندازه حفره‌های هوایی از گونه‌ای به گونه دیگر متغیر است. در برخی از گونه‌ها مانند *C. pamirica* حفره‌های هوایی به قدری بزرگ‌اند که کل فضای بین دستجات آوندی متواتی را پر می‌کنند (شکل D) و کلرانشیم به یک لایه نازک کاهش می‌یابد. همچنین در برخی از تاکسون‌ها مانند *C. distachyos* و *C. glaber* حفره‌های هوایی کوچک (شکل ۶ A و B) هست. سلول‌های پارانشیم هوایی به شکل لوبدار یا ستاره ای در *Schoenoplectus* دیده می‌شوند (شکل D و E).

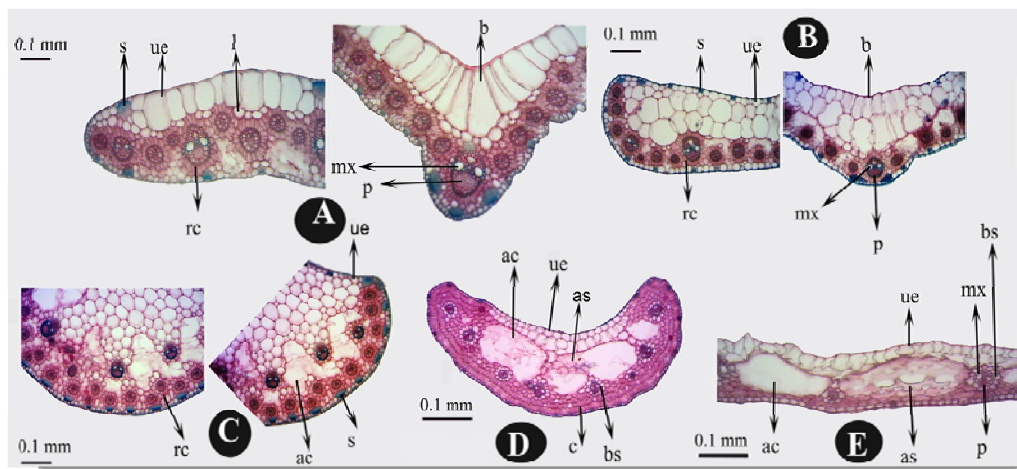
واکاوی خوش‌ای: ساقه: همان طور که در شکل ۹ دیده می‌شود، در تراز ۳۰/۷۸ چهار گروه از هم قابل تشخیص‌اند؛ گروه اول فقط شامل *C. acutiformis* و گروه دوم شامل *C. pamirica* و گروه سوم شامل *C. hordeistichos* و گروه آخر شامل گونه‌های *C. pseudofoetida* و *C. demissa* است. با یک نگاه در برخهای عرضی ساقه (شکل ۲) گونه (۲) را *C. acutiformis* با ویژگی‌هایی مانند طول کوتاه تر ستون اسکلرانشیم، ابعاد بزرگتر حفره هوایی پیرامونی و تعداد بیشتر دستجات آوندی بزرگ از *C. pamirica* می‌توان تمیز داد. همچنین *C. hordeistichos* با ویژگی‌هایی مانند نداشتن ستون اسکلرانشیم، تعداد کمتر دستجات آوندی بزرگ، ابعاد کوچکتر حفره‌های هوایی پیرامونی و نیز ابعاد کوچکتر دستجات آوندی از *C. acutiformis* و *C. pamirica* دیگر جدا می‌شود. در نهایت ویژگی‌هایی مانند تفاوت در ابعاد ستون اسکلرانشیم و حفره‌های هوایی پیرامونی و تعداد دستجات آوندی دو گونه *C. demissa* و *C. pseudofoetida* را از یکدیگر جدا می‌کند.



-b, B *Carex acutiformis* -a, A *C. pamirica* -d, D *C. hordeistichos* -c, C *C. demissa* -e =a *C. pseudofoetida* -e, E =b سلول مفصلی، =c حفره هوایی، =d اپیدرم آوندی، =e غلاف آوندی، =m اپیدرم بالایی، =p متابزایلم، =bs آوند آبکش، =pa زواید پستانکی، =s اسکلرانشیم کناری، =st روزنه هوایی

اسکلرانشیم: بافت اسکلرانشیمی در برگ به شکل ستون پیوسته ای از اپیدرم تا دستجات آوندی در گونه‌های *C. demissa*, *C. hordeistichos*, *C. acutiformis* و *C. pseudofoetida* دیده می‌شود و در بقیه گونه‌ها به صورت کناری می‌باشد (شکل ۵ و ۶). توده ای از بافت اسکلرانشیمی نیز در اطراف دستجات آوندی به عنوان کلاهک (cap) وجود دارد.

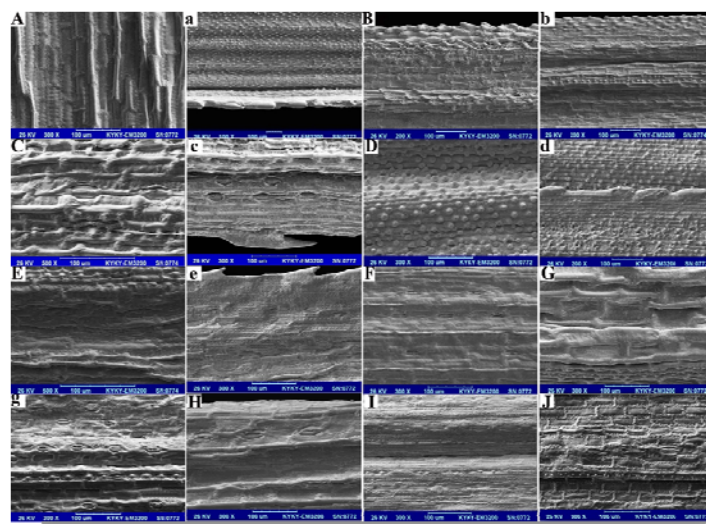
دستجات آوندی: دستجات آوندی در همه گونه‌ها از نوع هم‌جوار (Collateral) می‌باشد. رشته‌های آوندی در جنس *Carex* موازی با یکدیگر و نیز با محور طولی برگ قرار



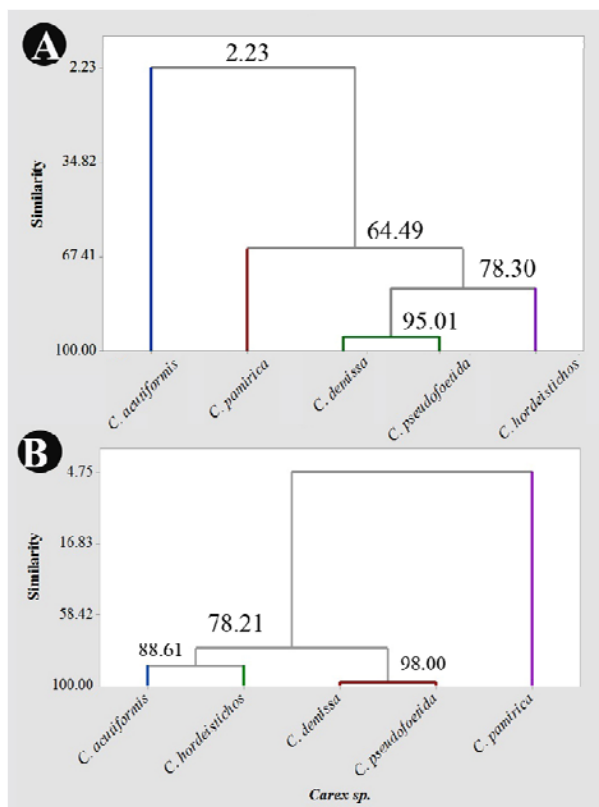
شکل ۶- برش عرضی برگ. -A. *Schoenoplectus bucharicus* -D *Pycreus falvidus* -C *Cyperus glaber* -B *Cyperus distachyos* -E *S. mucronatus* .
 سلول مفصلی =bs ، حفره هوایی =ac ، سلول های شفاف =b ، اسکلرید ستاره ای =mx ، اسکلرنشیم کناری =st ، روزنه هوایی =ue ، آوند آبکش =pa ، زواید پستانکی =rc ، اسکلرنشیم شعاعی =s .
 متأذیلم =p



شکل ۷- اپیدرم بالایی A و پایینی b در *Carex acutiformis* - اپیدرم بالایی B و پایینی c در *C. demissa* - اپیدرم بالایی C و پایینی d در *C. hordeistichos* - اپیدرم بالایی D و پایینی e در *C. pamirica* - اپیدرم بالایی F و پایینی f در *C. pseudofoetida* - اپیدرم بالایی G و پایینی h در *Pycreus flavidus* - اپیدرم بالایی H و پایینی i در *Cyperus distachyos* - اپیدرم بالایی J و پایینی k در *S. mucronatus* با بزرگ نمایی $\times 400$.
 اپیدرم بالایی I و پایینی l در *S. bucharicus*



شکل ۸- میکروگراف الکترونی اپیدرم بالایی A و پایینی a در *Carex acutiformis*. اپیدرم بالایی B و پایینی b در *C. demissa*. اپیدرم بالایی C و پایینی c در *C. pseudofoetida*. اپیدرم بالایی D و پایینی d در *C. hordeistichos*. اپیدرم بالایی E و پایینی e در *C. pamirica*. اپیدرم بالایی F و پایینی f در *C. glaber*. اپیدرم بالایی G و پایینی g در *Cyperus distachyos*. اپیدرم بالایی H و پایینی h در *Pycreus flavidus*. اپیدرم بالایی I و پایینی i در *Schoenoplectus bucharicus*. اپیدرم بالایی J و پایینی j در *S. mucronatus*



شکل ۹- دندروگرام حاصل از واکاوی خوش‌ای ویژگی‌های تشریحی ساقه (A) و برگ (B) در گونه‌های مختلف جنس *Carex*

دستجات آوندی و برعکس ابعاد کوچکتر سلول های اپیدرمی و آوند های چوب و آبکش با بیشترین تفاوت از بقیه جنس ها جدا می شود. همچنین مقایسه تشریحی ساقه نشان می دهد که ویژگی هایی مانند وجود ستون اسکلرانشیم و حفره های هوایی بزرگ در پیرامون ساقه و ابعاد بزرگتر آوند های چوب و آبکش موجب جدایی گونه های مورد مطالعه جنس *Carex* (متعلق به زیر تیره Caricoideae) از بقیه گونه ها (متعلق به زیر تیره Cyperoideae) می گردد. بنابراین می توان نتیجه گرفت که ویژگی های اخیر، در تراز زیر تیره برای جداسازی تاکسون ها می توانند به عنوان صفت تشخیصی مورد توجه قرار گیرند.

مقایسه ساختار تشریحی ساقه مovid آن است که ابعاد آوند های متازایلم و تعداد دستجات آوندی بزرگ به عنوان مهمترین ویژگی ها، موجب جدایی گونه های مورد مطالعه جنس *Carex* می شود، به طوری که گونه جنس *C. pseudofoetida* (بخشه *C. foetida*) و گونه های *C. pamirica* و *C. acutiformis* با کوچکترین و بزرگترین ابعاد آوند های چوبی متازایلم و همچنین *C. hordeistichos* (بخشه *Secalinae*) و *C. demissa* (بخشه *Ceratocystis*) به ترتیب با کمترین و بیشترین تعداد دستجات آوندی بزرگ، متمایز از بقیه گونه ها هستند. بنابراین می توان چنین استنباط کرد که ویژگی های مربوط به آوند ها در گروه بندی گونه های مختلف تیره اویارسلام در تراز های فرا گونه ای و درون جنسی می توانند مفید باشند و برعکس ویژگی هایی مانند ابعاد آوندی آبکش و ابعاد سلول های اپیدرمی و حفره های هوایی در جدا کردن تاکسون های فرا گونه ای چندان ارزشمند نیست. در بررسی تعدادی از گونه جنس *Carex* با اشاره به اهمیت وجود یا عدم حضور حفره های هوایی در جداسازی گونه ها، گونه های متعلق به چندین بخش از زیر جنس *Vignea* را با نداشتن حفره هوایی یا حفره های

برگ: همان طور که در شکل B9 دیده می شود، *C. pamirica* در تراز شباهت ۷۵/۴ از بقیه متمایز می گردد. در نهایت در تراز شباهت ۰/۹۸ تمام پنج گونه مختلف جنس *Carex* از یکدیگر تفکیک می گردد. در تراز ۷۸/۲۱ دو گروه از هم قابل تشخیص اند؛ گروه اول فقط شامل گونه های *C. hordeistichos* و *C. acutiformis* و گروه دوم شامل گونه های *C. pseudofoetida* و *C. demissa* است. با یک نگاه به برش های عرضی برگ، (شکل ۵) با *C. pamirica* با ویژگی هایی مانند بیشترین ضخامت برگ، ابعاد بزرگتر اسکلرانشیم حاشیه برگ، نداشتن سلول های مفصلی و ناو به سادگی از سایر گونه ها مشخص می گردد، همچنین *C. acutiformis* با ویژگی هایی مانند ضخامت بیشتر برگ و داشتن اسکلرانشیم در حاشیه برگ، ابعاد بزرگتر حفره هوایی و فاصله کمتر دستجات آوندی تا اپیدرم بالایی از *C. demissa* جدا می شود. در نهایت *C. hordeistichos* جدا از *C. pseudofoetida* با ویژگی هایی مانند ابعاد بزرگتر سلول های اپیدرمی سطح شکمی، نداشتن زوائد پستانکی، ابعاد بزرگتر حفره هوایی و عمق بیشتر ناو متمایز از یکدیگرند.

بحث و نتیجه گیری

شکل برش های عرضی ساقه، انواع مختلفی از سه وجهی شدن تیز یا کند را در گونه های مختلف نشان می دهد. ویژگی هایی مانند وجود و ابعاد ستون اسکلرانشیم بین دستجات آوندی و اپیدرم ساقه، آرایش آوند ها وجود حفره های هوایی در پیرامون ساقه در تمایز بین تاکسون موثر تر بوده اند و بر عکس ویژگی هایی مانند شکل برش عرضی ساقه، تعداد دستجات آوندی ساقه، ضخامت لایه کوتیکول، ابعاد دستجات آوندی و سلول های اپیدرمی به دلیل تغییر پذیری بالا برای جدا سازی تاکسون ها حداقل در سطح گونه بدون ارزش می باشد. جنس *Schoenoplectus* با ویژگی هایی مانند نداشتن حفره های هوایی پیرامونی، ابعاد بزرگ حفره هوایی مرکزی و

در مجموع ویژگی های ارزشمند محدودی در برش عرضی ساقه برای تشخیص گونه ها وجود دارد(۲۰).

برش عرضی ساقه *C. distachyos* و *C. glaber* مطابق با گزارش های قبلی به ترتیب سه گوشه بسیار کند و کند می‌باشد (۵ و ۱۹). ساختار تشریحی ساقه *C. glaber* با داشتن تعداد دستجات آوندی بیشتر، فقدان یا حفره های هوایی پیرامونی، ابعاد بزرگتر دستجات آوندی از گونه دیگر متمایز می‌شود. براساس گزارش های قبلی مشخص گردیده است که بافت زمینه ای ساقه در این جنس از گوناگونی خاصی در نظر ابعاد و آرایش حفره های هوایی برخوردار است و در نتیجه ماهیت آن به عنوان یک واحد تاکسونومیکی چالش برانگیز می‌باشد(۱۹)، اما به نظر می‌رسد که وضعیت حفره های هوایی بیشتر متاثر از شرایط محیطی است، چرا که در گونه های ساکن در مناطق خشک تر مانند *C. bulbosus* تعداد این حفرات بسیار کاهش یافته است (۵). باوجود ویژگی های مشترکی مانند حفره های هوایی بزرگ در مرکز ساقه و ابعاد دستجات آوندی در ساختار تشریحی ساقه، *Schoenoplectus mucronatus* از ساقه *S. bucharicus* دستجات آوندی متمایز می‌گردد.

برش عرضی برگ در تمام گونه های مورد مطالعه ۷ شکل می‌باشد(شکل ۳). هرچند شکل برش عرضی برگ به طور گستره ای در مطالعات میدانی استفاده شده است(۱۴ و ۲۲)، اما این ویژگی در گونه های مورد مطالعه در این تحقیق فاقد هر گونه ارزش تفکیکی می‌باشد. بر اساس نتایج حاصل از تصاویر میکروسکوپی نوری و واکاوی خوش ای مشخص می‌گردد که ویژگی هایی مانند ضخامت پهنهک، تعداد دستجات آوندی، ابعاد بافت اسکلرانشیم مجاور اپیدرم، شکل و عمق گودی ناو، شکل و ابعاد حفره های هوایی تعداد لایه های کلرانشیم در اطراف حفره های هوایی می‌توانند در تمایز بین تاکسون موثر تر باشد و بر عکس ویژگی هایی مانند فاصله

هوایی کوچک از سایر بخش های متعلق به زیر جنس *Carex* (با حفره های هوایی بزرگتر) متمایز معرفی گردید(۲)، در نتایج ما نیز همین وضعیت تایید می‌شود، بدین ترتیب که بخش *Foetida* (زیر جنس *Vignea*) در مقایسه با سایر بخش ها (از زیر جنس *Carex*) دارای حفره های هوایی پیرامونی کوچکی در ساقه می‌باشد. با این وجود از نظر وجود حفره های هوایی بزرگی در مرکز ساقه، بین این دو زیر جنس تفاوتی دیده نمی‌شود. همچنین ویژگی آرایش دستجات آوندی در جداسازی بخش ها و حتی زیر جنس ها هم خوانی دارد(۲) به این ترتیب که بخش *Foetida* از زیر جنس *Vignea* با داشتن دستجات آوندی پیرامونی و نیز کوچکتر از بقیه بخش ها (از زیر جنس *Carex*) متمایز می‌گردد. بنابراین آرایش و ابعاد دستجات آوندی حداقل در گونه های مورد بررسی در این تحقیق و گزارش اخیر دارای ارزش تاکسونومیکی در تراز زیر جنس های *Carex* می‌باشد.

نتایج واکاوی خوش ای نشان داد که *C. acutiformis* با بیشترین تفاوت به دلیل داشتن ساقه سه گوش تیز، حفره های هوایی پیرامونی بزرگ و نبود حفره هوایی مرکزی و ستون اسکلرانشیمی و دستجات آوندی عریض تر از بقیه گونه ها با بیشترین تفاوت متمایز می‌گردد. دومین گونه *C. pamirica* با ستون اسکلرانشیمی باریک تر، حفره هوایی مرکزی بزرگتر، دستجات آوندی طویل تر و آوندی های چوب و آبکش بزرگ تر از بقیه گونه ها متمایز می‌گردد. وجود حفره های هوایی بزرگ در ساقه این گونه ساکن در رویشگاه های ماندابی (۱۵) نشانه ای از سازش به غرقابی می‌باشد(۳۵). *C. hordeistichos* با سلول های اپیدرمی ایزو دیامتریک، تعداد دستجات آوندی بزرگ، کمتر و نیز نداشتن ستون اسکلرانشیمی از بقیه گونه ها متمایز می‌گردد. در نهایت *C. demissa* از *C. pseudofoetida* با کمترین تفاوت به دلیل تعداد بیشتر و ابعاد بزرگتر دستجات آوندی، ستون اسکلرانشیمی طویل تر، سلول های اپیدرمی درشت تر و لایه کوتیکول نازک تر جدا می‌گردد.

C. pamirica در این تحقیق است. همچنین *C. demissa* و *C. hordeistichos* به ترتیب با بیشترین و کمترین تعداد دستجات آوندی و همچنین به ترتیب با بزرگ ترین و کوچک ترین ابعاد بافت اسکلرانشیم ناو متمایز از بقیه گونه ها هستند. بنابراین ویژگی های مربوط به آوند ها می توانند در تمایز تشریحی گونه های جنس *Carex* مفید باشند. اما فاصله دستجات آوندی با اپیدرم بالایی، تعداد و ابعاد سلول های مفصلی فاقد ارزش تفکیکی در تراز زیر جنس می باشد. تمام گونه های مورد مطالعه *Carex* در این تحقیق دارای یک لایه سلول مفصلی می باشند، هرچند که از تعداد لایه های سلول های مفصلی برای تشخیص *C. otrubae* (یک لایه) و *C. vulpine* (سه لایه) استفاده شده است(۲۲ و ۲۴). اما در گزارشی دیگر، سلول مفصلی چند لایه تنها در هشت درصد افراد گونه *C. vulpina* و ۱۶ درصد از نمونه های مطالعه شده گونه *C. otrubae* دیده شده است(۹)، لذا هنگام استفاده از این ویژگی به عنوان ویژگی تشخیصی تشریحی باید محتاط بود.

همچنین *C. pamirica* با بیشترین تفاوت به دلیل نداشتن ناو، فاصله زیاد دستجات آوندی تا اپیدرم بالایی، زوائد پستانکی فراوان در اپیدرم بالایی و حفره های هوایی بزرگ تر از بقیه گونه ها متمایز می گردد. وجود حفره های هوایی بزرگتر بازتابی از سازش(۲۰ و ۳۵) این گیاه به رویشگاه های کاملا غرقابی (۱۵) است. اما *C. acutiformis* و *C. hordeistichos* با داشتن ویژگی های مشترکی مانند تعداد دستجات آوندی بیشتر، ابعاد بزرگتر سلول های اپیدرمی، ابعاد بزرگتر بافت اسکلرانشیم در کنار اپیدرم و ناو و همچنین عمق بیشتر ناو از دو گونه *C. demissa* و *C. pseudofoetida* متمایز می گردند. در مجموع ویژگی های بیشتر و گوناگون تری در برش عرضی برگ وجود دارد که می توانند قابلیت استفاده در تاکسونومیکی این جنس را داشته باشند.(۲۰).

دستجات آوندی تا اپیدرم و سلول های اپیدرمی سطح شکمی به دلیل تغییر پذیری کمتر برای جدا سازی تاکسون ها حداقل در سطح گونه بدون ارزش می باشند.

هر دو گونه جنس *Schoenoplectus* با ویژگی هایی مانند ابعاد کوچکتر سلول های اپیدرمی سطح شکمی، نداشتن سلول های مفصلی، ابعاد کوچکتر بافت اسکلرانشیمی مجاور اپیدرم، ابعاد بزرگتر حفره های هوایی و نداشتن ناو، به عنوان یک واحد تاکسونومیکی مستقل (جنس) از بقیه گونه ها متفاوت می باشند. اهمیت تاکسونومیکی تنوع در ابعاد سلول های مفصلی قبلا در *C. hirta* (۲۰) و بخشی *Phyllostachys* (۹) گزارش شده است. سلول های مفصلی به هنگام بروز تش آبی موجب لوله شدن برگ ها شده در نتیجه میزان تعرق کاهش می یابد(۶). از این رو تنوع در ویژگی سلول های مفصلی وابسته شرایط محیطی است. همچنین ویژگی هایی مانند عمق بیشتر ناو، ابعاد بزرگتر بافت اسکلرانشیم ناو و مجاور اپیدرم بالایی و پایینی، تعداد بیشتر لایه های کلرانشیم در اطراف حفره های هوایی، وجود زواید پستانکی و کمترین فاصله دستجات آوندی تا اپیدرم بالایی موجب جدایی گونه های جنس *Carex* (متعلق به زیر تیره Caricoideae) از گونه *P. flavidus*, *Cyperus distachyos*, *C. glaber* های (متعلق به زیر تیره Cyperoideae) می گردد. بنابراین ویژگی های اخیر را می توان در تراز زیر تیره برای جداسازی تاکسون ها پیشنهاد کرد. اما گونه های *C. glaber*, *C. distachyos* با وجود داشتن بیشترین شباهت به *Pycreus flavidus* در مقایسه با گونه های دیگر، به دلیل ضخامت بیشتر برگ، تعداد دستجات آوندی بیشتر، تعداد کمتر سلول های مفصلی، ابعاد بزرگ تر بافت اسکلرانشیم مجاور اپیدرم و داشتن بافت اسکلرانشیم در ناو به سهولت از گونه اخیر جدا می شود.

وجود بافت اسکلرانشیم در حاشیه برگ و ضخامت بیشتر پهنک ویژگی مشترک گونه های *C. acutiformis* و

C. riparia متفاوت اند به طوری که سطح اپیدرم پایینی دارای زواید پستانکی کمتری است. وجود اپیدرم فوقانی صاف همراه با زواید پستانکی در *Carex demissa* قبل از *Carex puncata* نیز گزارش شده است (۲۸)، با این تفاوت که در گونه اخیر حاشیه برگ دارای خارهای تیز است. همچنین *C. flava* و *C. demissa* که دارای جایگاه تاکسونومیکی مشابهی (بخش *Ceratpaysia*) و زیر جنس *Carex* در فلور ایران دارند (۱)، هر دو دارای برآمدگی *Carex* هایی در بخش انتهایی سلولهای اپیدرمی نزدیک به حاشیه برگ می‌باشد (۲۶). حاشیه برگهای *C. pseudofoetida* دارای دندانهای تیز کوتاه و سطح اپیدرم صاف می‌باشد. این گونه مشابه با *C. maritima* در زیر جنس *Vignea* و بخش *Foetidae* قرار دارد و ویژگی های ریز ریخت شناسی مشابهی را ارایه می‌کنند (۲۵). *Pycreus*, *Cyperus*, *Cy wholeoideae* (از زیر خانواده *Schoenoplectus* زواید پستانکی و نیز خار در حاشیه برگ می‌باشد. وجود برجستگی های مخروطی بر روی سلولهای اپیدرمی در *C. glaber* ویژگی مناسبی برای تشخیص آن از *C. distachyos* است. هر دو گونه *Schoenoplectus* فقط در سطح بالایی اپیدرم دارای روزنه می‌باشد. *S. bucharicus* با تعداد بیشتر روزنه های هوایی و نیز ابعاد بزرگتر از *S. mucronatus* مشخص می‌گردد.

در مجموع به نظر می‌رسد که ویژگی های تشریحی دارای ظرفیت بالقوه‌ای در تشخیص تاکسونهای مختلف تیره اویارسلام می‌باشند و برای تصمیم گیری نهایی درباره کاربرد آن‌ها در تاکسونومی، ضروری است که مطالعات تکمیلی و مقایسه‌ای در تمامی گونه‌ها در نقاط مختلف حوزه انتشار جغرافیایی این تیره انجام گیرد. همچنین بدیهی است که ویژگی های تشریحی همراه با سایر ویژگی های ریخت شناختی، ریز ریخت شناسی، مولکولی، گرده‌شناسی گروه بندی‌های دقیق‌تر و طبیعی‌تری را به دست می‌دهد.

هر دو گونه مورد بررسی *Cyperus* به دلیل داشتن کلرانشیم شعاعی در اطراف دستجات آوندی نشان ویژگی کرانز ارایه می‌کنند. چنین وضعیتی در گونه‌های دیگر این جنس مانند *C. articulates*, *C. compressus* گزارش شده است (۱۷). اساساً این گونه‌ها جز تیپ *chlorocyperoid* تقسیم بندی می‌شوند و به طایفه *Cypereae* تعلق دارند (۸) و (۱۸). نشان ویژگی کرانز در تقسیم بندی‌های زیر جنسی (*Infrageneric*) مفید می‌باشد (۱۷). گونه‌های زیر *Pycreus flavidus* دارای نشان ویژگی کرانز در ساختار تشریحی برگ خود بود که قبل از گزارش شده است (۸). گونه‌های دارای نشان ویژگی کرانز به طور ترجیحی در رویش گاههای خشک و آفتابی می‌رویند (۳۳) و در نتیجه، کوچک‌تر بودن ابعاد حفره‌های هوایی در آن‌ها در مقایسه با سایر گونه‌های فاقد نشان ویژگی کرانز قابل توجیه است. در کل نشان ویژگی کرانز در زیر تیره *Cy wholeoideae* دیده می‌شود (۸).

برگ در جنس *Schoenoplectus* تحلیل رفته است، از این رو بررسی تشریحی محدود به غلاف بوده است. *S. bucharicus* با ویژگی‌های ضخامت بیشتر غلاف، تعداد دستجات آوندی کمتر، وجود بافت اسکلرانشیم در کنار اپیدرم در ناحیه پهنک و حاشیه برگ، فاصله بیشتر دستجات آوندی با اپیدرم بالایی از *S. mucronatus* متمایز می‌گردد.

نتایج ما برای روزنه‌ها و زواید اپیدرمی با گزارش‌های قبلی درباره گونه‌های متعلق به بخش *Carex* از انگلستان هماهنگ می‌باشد (۲۶). هر چند ویژگی‌های سلولهای اپیدرمی دارای ارزش تاکسونومیک می‌باشد (۱۰)، اما الزاماً ارتباط مستقیمی بین این ویژگی‌ها و شرایط رویش گاهی وجود ندارد (۲۷) برای مثال *Carex acutiformis* و *Carex riparia* که هر دو در رویش گاههای مشابه (حاشیه استخرهای با آب راکد) می‌رویند و بخش مشابه (۱) قرار دارند، از نظر ویژگی سلولهای اپیدرمی *Carex*

پیشنهادها

۲- بررسی تطبیقی داده‌های تشریحی و ریز ریخت شناسی با سایر داده‌ها به ویژه مولکولی در تاکسونومی ترازهای مختلف در تیره.

۱- تکمیل مطالعات تشریحی و ریز ریخت شناسی ساقه، برگ و فنده در گونه‌های ایرانی تیره اویارسلام و بررسی ارتباط بین ویژگی‌های تشریحی، ریز ریخت شناسی با شرایط رویشگاهی

منابع

۳- کامرانی، ا و نقی نژاد، ع. (۱۳۹۴). آیا گونه‌های ماندابی استپ های البرز به عنوان شاخص‌های بوم شناختی قابل استفاده‌اند؟ آزمون یک فرضیه و ترسیم نمودار بوم شناختی گونه‌ها. مجله پژوهش‌های گیاهی. ۲۸(۳): ۵۹۵-۵۸۳.

۴- کشاورزی، م، اوшиб نتاج، م، شکرچی، ح و اکبر زاده، م. (۱۳۹۲). ارزش تشریح مقایسه‌ای برگ در تفکیک گونه‌های *Lolium* از خانواده غلات در ایران. مجله پژوهش‌های گیاهی. ۴(۲۶): ۴۹۹-۴۸۶.

5-Amini rad M. and Sonboli A. (2008) Leaf and stem anatomy of the *Cyperus* subgenus *Cyperus* in Iran. *Rostaniha*, 9: 6-22.

6-Balsamo R.A., Willigen C.V., Bauer A.M. and Farrant J. (2006) Drought tolerance of selected *Eragrostis* species correlates with leaf tensile properties. *Annals of Botany*, 97: 985-991.

7-Bendixen L.E. (1973) Anatomy and sprouting of yellow nutsedge tubers. *Weed science*, 21: 501-503.

8-Bruhl J. and Wilson K. L. (2007) Towards a comprehensive survey of C₃ and C₄ photosynthesis pathway in Cyperaceae. Pp. 99-148. J. T. Columbus, E, A. Friar, C. W. Hamilton, J. M. Porter, L. M. Price M. G. Simpson (eds), Monocots : comparative biology and evolution. Rancho Sanata Ana Botanic Garden: Claremont.

9-Bugg C., Smith C., Blackstock N., Simpson D. and Ashton P.A. (2013) Consistent and variable leaf anatomical characters in *Carex* (Cyperaceae). *Botanical Journal of the Linnean Society*, 172: 371-384

10-Dean M. and Ashton P.A. (2008) Leaf surface as a taxonomic tool: the case of *Carex* section *Phacocystis* (Cyperaceae) in the British Isles. *Plant Systematic and Evolution*, 273: 97-105.

11-Eiten L.T. (1969) The vegetative anatomy of *Eleocharis interstincta* (Vahl) Roem. And Schult. *Arqs Bot East S Paulo*, 4: 187-228.

۱- امینی راد، محمد (۱۳۹۰) فلور ایران، شماره ۷۰: تیره اویار سلام (Cyperaceae). موسسه تحقیقات جنگل‌ها و مراتع کشور.

تهران ۲۹۸ صفحه.

۲- حجازی ژ، واعظی ج، امیری مقدم د و معماریانی ف. (۱۳۹۳) بررسی ساختار تشریحی ساقه و برگ گونه‌های جنس (Cyperaceae) *Carex L.* در استان های خراسان شمالی، رضوی و جنوبی. تاکسونومی و بیوسیستماتیک. صفحه ۱۳۳-۱۵۴.

12-Hameed M., Nawaz T., Ashraf M., Tufail A., Kanwal H., Ahmad M. and Ahmad I. (2012) Leaf anatomical adaptations of some halophytic and xerophytic sedges of Punjab. *Pakistan Journal of Botany*, 44: 159-164.

13-Jakovljevic K., Sekulic J., Vukojicic S., Kuzmanovic N. and Lakusic D. (2013) Leaf anatomy of *Carex humilis* from Central and South Eastern Europe. *Bot. Serb.*, 37: 3-11.

14-Jermy A.C., Simpson D.A., Foley M.J.Y. Porter M.S. (2007) Sedges of the British Isles, 3rd edn. London.

15-Kamrani A., Amini Rad M., Jalili A. and Attar F. (2008) *Carex pamirica* (Cyperaceae), A new record from wetland flora of Iran. *Iranian Journal of Botany*, 14: 110-111

16-Kamrani A., Jalili A., Naqinezhad A., Attar F., Maassouni A. and Shaw S. (2011) Relationships between environmental variables and vegetation across mountain wetland sites, N. Iran. *Biologia*, 66: 76-87.

17-Martins S. and Alves M. (2009) Anatomical features of species of Cyperaceae from northeastern Brazil. *Brittonia*, 60: 189-200.

18-Martins S., Machado S. R. and Alves M. (2008) Anatomia e ultra-estrutura de *Cyperus maritimus* Poir. (Cyperaceae) estrategias adaptativas ao ambiente de dunas litoraneas. *Acta Botanica Brasilica*, 22: 289-299.

- 19-Metcalf C. R. (1971) Anatomy of the monocotyledons. V. Cyperaceae. Clarendon Press. Oxford.
- 20-Molina A., Acedo C. and Llamas F. (2006) The relationship between water availability and anatomical characters in *Carex hirta*. *Aquatic Botany*, 85: 257-262.
- 21-Moog R. P. (1998) Flooding tolerance of *Carex* species. I. Root structure. *Planta* 207: 189-198.
- 22-Nakamatte E. and Lye K. A. (2010) Foliar micro-morphology of *Carex* sect. *Phacocystis* in northern Europe. *Nordic Journal of Botany*, 28: 216-230.
- 23-Poland G. Clement E. (2009) The vegetative key to the British Flora. Southampton: John Poland.
- 24-Porley R. D. (1987) Separation of *Carex vulpina* L. and *Carex otrubae* Podp. (Cyperaceae) using transverse leaf sections. *Watsonia*, 22: 431-432.
- 25-Proctor M. C. F. and Bradshaw M. E. (2014a) Scanning electron micrographs of leaves of British *Carex* species, 2. Subgenus *Vignea*. *Carices* with several hermaphrodite spikes. *New Journal Botany*, 4(1): 47-60.
- 26-Proctor M. C. F. and Bradshaw M. E. (2014b) Scanning electron micrographs of leaves of British *Carex* species, 3. Subgenus *Carex*: sections *Vesicariae*, *Carex*, *Pseudocypterae*, *Limosae* and *Phacocystis*. *New Journal Botany*, 4(3): 154-171.
- 27-Proctor M. C. F. and Bradshaw M. E. (2015a) Scanning electron micrographs of leaves of British *Carex* species, 4. Subgenus *Carex*: sections *Paludosae*, *Porocystis*, *Atratae*, *Paniceae*, *Pachystylae*, *Glaucæ*, *Ceratocystis* and *Strigosae*. *New Journal Botany*, 5(1): 45-58.
- 28-Proctor M. C. F. and Bradshaw M. E. (2015b) Scanning electron micrographs of leaves of British *Carex* species, 5. Subgenus *Carex*: sections *Spirostachyae*, *Digitatae*, *Mitratae*, *Acrocystis*, *Rhyhocystis*, *Rhomboïdales* and *Aulocystis*. *New Journal Botany*, 5(2): 129-142.
- 29-Standley L. A. (1987) Anatomical and chromosomal studies of *Carex* section *Phacocystis* in Eastern North America. *Bot. Gaz.* 148: 507-518
- 30-Star J. R. and Ford B. A. (2001) The taxonomic and phylogenetic utility of vegetative anatomy and fruit epidermal silica bodies in *Carex* section *phylllostachys* (Cyperaceae). *Canadian Journal of Botany*, 79: 362-379.
- 31-Stenstrom A., Jónsdóttir I. S. and Augner M. (2002) Genetic and environmental effects on morphology in clonal sedges in the Eurasian Arctic. *American Journal of Botany*, 89: 1410-1421.
- 32-Stock W. D., Chuba D. K. and Verboom G. A. (2004) Distribution of South African C₃ and C₄ species of Cyperaceae in relation to climate and phylogeny. *Austral Ecology*, 29: 313-319.
- 33-Szczepanik-Janyszek M. and Klimko M. (1999) Application of anatomical methods in the taxonomy of sedges (*Carex* L.) from the section *Muehlenbergianae* (L.H. Bailey) Kuk. occurring in Poland. *Roczniki Akademii Rolniczejw Poznaniu-CCCXVI* 2: 97-107
- 34-Wills G. D., Hoagland R. E. and Paul R. N. (1980) Anatomy of yellow nut sedge (*Cyperus esculentus*). *Weed Science*, 28: 432-437.
- 35-Zarrinkamar F., Jalili A., Hamzeh ee B., Asri Y., Hodgson J. G., Thompson K. and Shaw S. (2002) Foliar anatomy of *Carex* in Arasbaran, NW. Iran. *Iranian Journal Botany*, 9: 262-270.

The study of anatomical structures of stem and leaf in some species of Cyperaceae

Aslani M.¹, Kamrani A.² and Nejadsattari T.¹

¹ Botany Dept., Basic Science Collage, Islamic Azad University, Tehran, I.R. of Iran

² Biology Dept., Basic Science Faculty, Shahed University, Tehran, I.R. of Iran

Abstract

Family Cyperaceae are perennial and rarely annual plants with erect stems, rhizoms, long and alternate leaves and reduced reproductive organs, they are growing in wetlands. In this study, ten species from four genera (*Carex*, *Cyperus*, *Pycreus* and *Schoenoplectus*) were investigated using light and SEM microscopy. The anatomical results showed that, sclerenchymatic girders, vascular positions, peripheral air cavities of stem are separating *Carex* species from the others. Ornamentation, number of large and size of vascular bundles specially metaxylems are the most characters in separation of *Carex* species. Anatomical structures of *Carex* leaves are characterized by larger sclerenchyma and more number of chlorenchyma layers in around of air cavities. Kranz anatomy is correlated with smaller air cavities in leaves of *C. distachyos*, *C. glaber* and *Pycreus flavidus*. A morphological analysis of leaf epidermis showed that, tetracytic stomata are dominant, and that distribution of stomata in both adaxial and abaxial layers and presence or absence of papillae have diagnostic value, and they were not correlated with habitat type necessarily.

Key words: Epidermis, Sclerenchyma, Sedge, Taxonomy, Vascular Bundle.